

京都大学防災研究所 正会員 三浦房紀
京都大学防災研究所 正会員 土岐憲三

1. はじめに

地盤上および地盤内に構造されている構造物の地震動に含まれる表面波成分に対する挙動を調べる問題に対して有限要素法を解析手法として用いるに当り、表面波の振幅が深さと共に指数関数的に減少するという特性を変位関数に生じた半無限要素の導入を著者らは提案している^{1), 2)}。そこで本研究はこの半無限要素を用いた地盤-構造物系のモデルと、従来用いられてきた剛な基盤をもつ地盤-構造物系のモデルとを用いて、弾性表面波が伝播する際の応答を基盤の及ぼす影響という点に着目して検討し、半無限要素導入の妥当性を調べたものである。

2. 半無限要素

ラブ波とレーレー波に対する半無限要素の変形の様子を図-1に示す。要素内の変位と節点変位との関係づける変位関数はそれを次式で与えられる。

$$\text{ラブ波: } [d] = \frac{1}{l} \{ (l-x) e^{-kx}, x e^{-kx} \} \quad \cdots (1)$$

$$\text{レーレー波: } [d] = \frac{1}{l} \begin{bmatrix} (Ae^{-kx} + Be^{-kx})(l-x) & 0 & (Ae^{-kx} + Be^{-kx})x \\ 0 & -(\frac{A}{k} Ae^{-kx} + \frac{B}{k} Be^{-kx})(l-x) & 0 \\ 0 & 0 & -(\frac{A}{k} Ae^{-kx} + \frac{B}{k} Be^{-kx})x \end{bmatrix} \quad \cdots (2)$$

ここで $A = \sqrt{k^2 - (\omega/C_L)^2}$, $B = \sqrt{k^2 - (\omega/G)^2}$, k : 波数, ω : 円振動数, C_L : 縦波速度, G : 剛性マトリクスおよび質量マトリクスは次式で与えられる。

$$\text{剛性マトリクス: } [K] = \int_0^l [B]^T [C] [B] dz \cdot dx \quad \cdots (3)$$

$$\text{質量マトリクス: } [M] = \rho \int_0^l [d]^T [d] dz \cdot dx \quad \cdots (4)$$

ここに $[B]$ は要素内のひずみと節点変位との関係づけるマトリクスであり、

$[C]$ は構成マトリクス, ρ は密度, $[d]$ は式(1), (2) の変位関数である。

3. 半無限要素による弾性基盤層のモデル化に対する検討

1) 位相速度による検討

ここでは、図-2に示す5種類の地盤モデルを想定し、併せて上層の横波速度も100, 200, 300 m/sec の3通りを想定して、固有値解析を行い、得られた分散曲線を用いて半無限要素の導入の妥当性の検討を行う。なお、下層の横波速度は400 m/sec とした。ラブ波の位相速度とそれを図5～7に示した。

これらの図の共通点としては、振動数が低くなると位相速度が下層の横波速度より大きくなり、それよりわずか高い振動数が遮断振動数となることである。彈

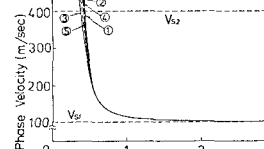


図-3 ラブ波の分散曲線 ($V_{s1}=100\%$)

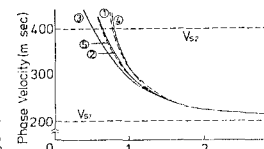


図-4 ラブ波の分散曲線 ($V_{s1}=200\%$)

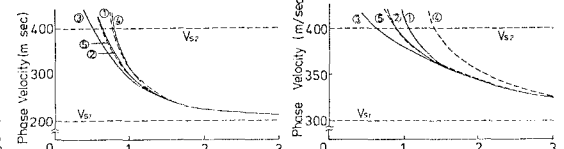


図-5 ラブ波の分散曲線 ($V_{s1}=300\%$)

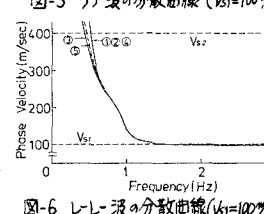


図-6 レーレー波の分散曲線 ($V_{s1}=100\%$)

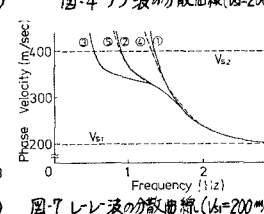


図-7 レーレー波の分散曲線 ($V_{s1}=200\%$)

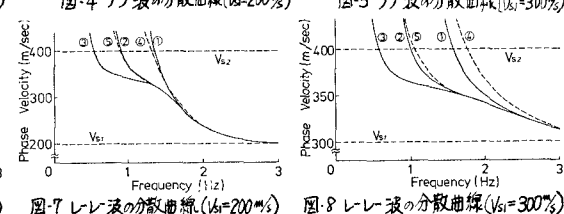


図-8 レーレー波の分散曲線 ($V_{s1}=300\%$)

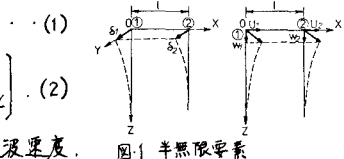


図-1 半無限要素

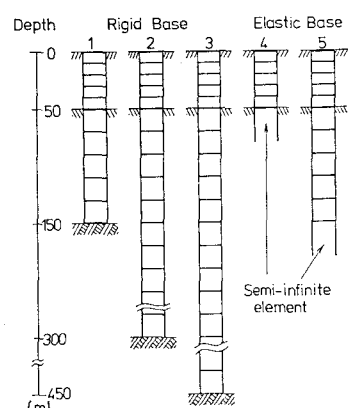


図-2 地盤の有限要素モデル

性論によれば、このような2層系の場合、下層が半無限であれば、振動数が低下するにつれ位相速度はラブ波の場合には下層の横波速度に、レーレー波の場合には下層の横波速度の0.9倍強の速度に漸近してゆき、ここで生じた様な遮断振動数は出現しない。ところが剛な基盤のモデルのみならず半無限要素を用いてあるモデル4, 5の場合にも遮断振動数が出現しているといふことは、(2), (3)式を用いて剛性マトリクス、質量マトリクスを求める際に2方向に無限積分を行って数式的には無限下方まで解析対象領域としているが、本質的には半無限要素を用いたモデルも剛な基盤のあるモデルと相違ないことを意味している。

次に、上層の横波速度が300m/sec、すなわち上層と下層のインピーダンス比が最も大きい場合が各モデルによる位相速度の相違が大きく、インピーダンス比が小さくなるにつれてモデルによる相違が小さくなっている。これは、上層と下層のインピーダンス比が小さい場合には、変位分布は上層に集中し、下層では急激に変位が小さくなり、そのため解析対象領域が浅い場合も深い場合も大きな相違はないが、その逆の場合は地中深くまで大きな変位分布がある、解析対象領域の取り方に結果は大きく左右されることになる。

次に剛な基盤の場合と半無限要素を用いた場合の対応関係をみる。まず、モデル4は図5、図8の場合を除いては、ほぼモデル1に対応し、モデル5の場合もモデル2に対応し位相速度となる。前者の場合、有限要素化を施した領域は $1/3$ 、後者の場合 $1/2$ の深さとなっている。前者の場合、半無限要素を用いた場合剛な基盤を有する場合の有限要素網の $1/2$ 程度で済み、大幅な数値計算上の省力化を示唆するものである。

2) 応答倍率による検討

ここでは、図9に示す3層からなる地盤に構造物が築造されているモデルを用いて、ラブ波およびレーレー波の基本モードが入射した場合の応答を調べることによって半無限要素の有用性を検討する。モデルの諸定数をTable 1に示す。図9は半無限要素を用いた際の有限要素網であり、剛な基盤を用いたモデルでは、①地表面下125m ②325m ③625mに基盤の存在を仮定した。図10, 11はこれらのおもとの分散曲線である。④は半無限要素を用いたモデルである。図12はラブ波が入射の際、図13はレーレー波が入射の際の点Aの応答倍率である。図13, 14いずれも低い振動数では各モデルによる応答の相違がみられるが、ラブ波の場合各モデルの位相速度が一致する約1Hz、レーレー波の場合約2Hz附近から応答の相違は小さくなっている。この解析例では、半無限要素を用いたモデルの応答は③の場合に最も近く、有限要素網の深さは $1/5$ と非常に少なくてても同程度の応答を呈することができるに至った。

4. まとめ

波動の問題を有限要素法で扱う場合、要素の大きさは解析の対象とする波長により決まる。しかし、注目点から遠く離れていても静的問題のようでは大さな要素は使せず、有限要素網の縮小は、ほとんどの場合自由度を縮小となる。この節約された自由度をモデルの詳細化に使うことにより、より高い振動数領域の解析が可能となり、この点でも半無限要素の導入は意義あるものと考えられる。

○参考文献

- 1) 土岐三浦；有限要素法を用いた弹性表面波による地盤の振動解析、第4回国震工学研究会講演概要 1976.9.19. ~52
- 2) 土岐三浦；弹性表面波による構造物基礎周辺地盤の振動解析、新都市防災年報第20号B-2 1977, PP.33~59

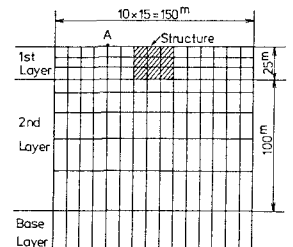


図-9 地盤・構造物系の有限要素モデル

Table 1 Constants of the analyzed model			
	S-wave Velocity(m/sec)	Unit weight (kN/m³)	Poisson's Ratio
1st Layer	150	1.7	0.4
2nd Layer	300	1.8	0.4
Base Layer	450	1.9	0.4
Structure	1500	2.5	0.17

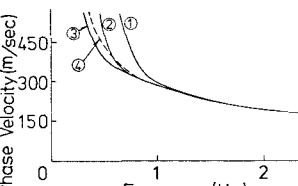


図-10 ラブ波の分散曲線(3層系)

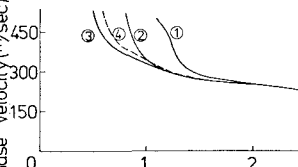


図-11 レーレー波の分散曲線(3層系)

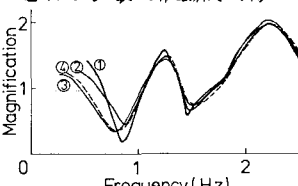


図-12 ラブ波の入射に対する応答倍率

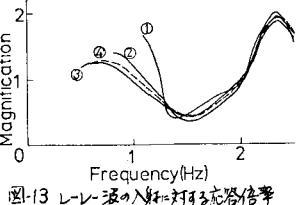


図-13 レーレー波の入射に対する応答倍率